

2.4. Globale Bifurkationen von Grenzzyklen

Jetzt: globale, qualitative Änderung des Phasenporträts

Bsp: Sattel + instabilen Fokus \rightarrow homokline Orbit



2.4.1 Homokline Bifurkationen (blue-sky catastrophe)



Sattel+Fokus

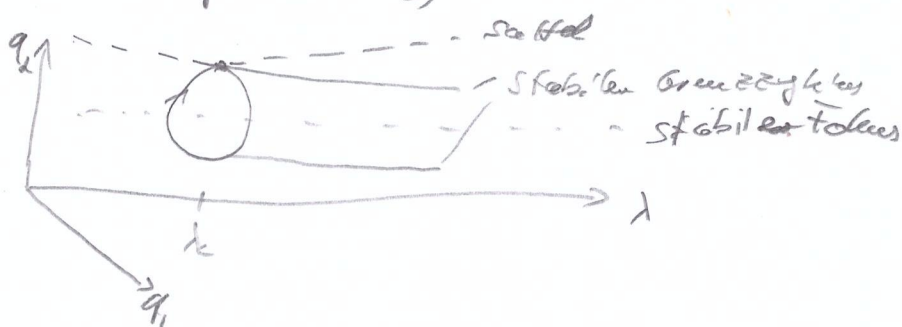
Sattel+homokline Orbit

Sattel+Fokus
+ Grenzzyklen

Idee: Schleppunkt kollidiert mit Grenzzyklen

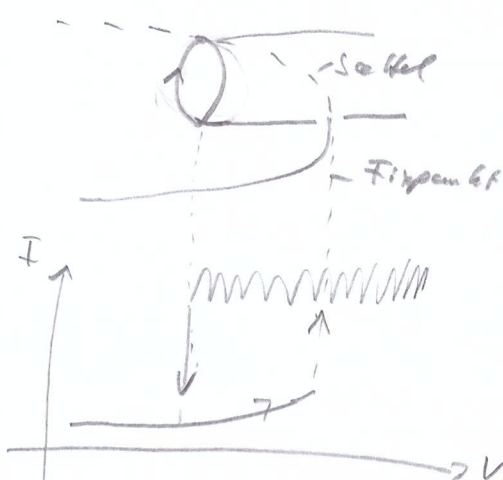
\Rightarrow homokliner Orbit (Saddle-to-saddle loop)

Bifurkationsdiagramm (3D):



Res: häufig Kontaktiert mit Bifurkationspunkt Zwei Schleifen

Oszillationen einer Fixpunkte:

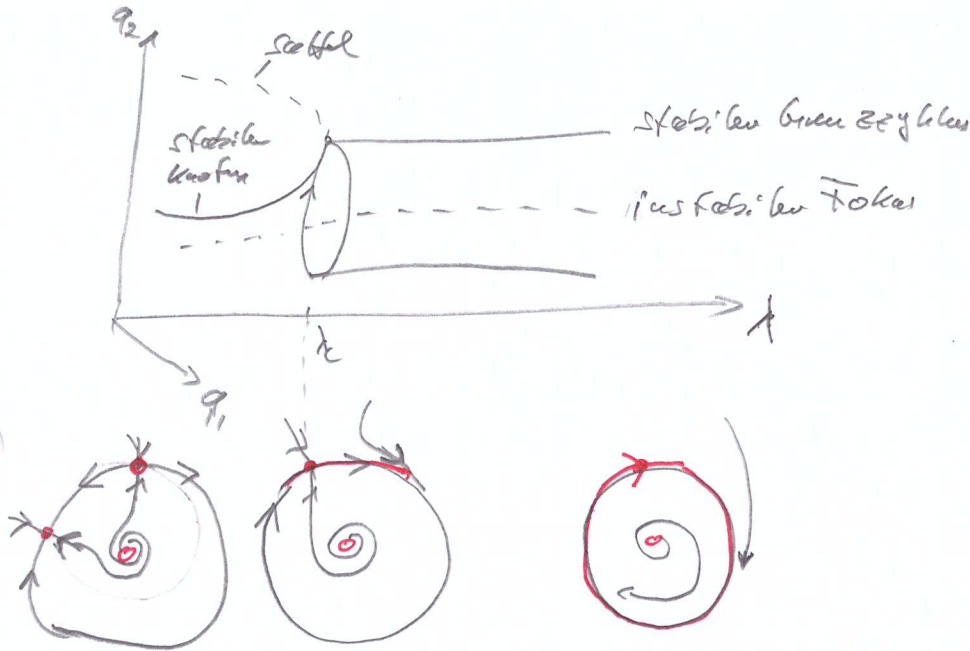


2.4.2. Sattel-Knoten - Bifurkationen zweier gleicher Grenzzyklen

28

• Omega-explosion

- Saddle-node in finite Period (SNIPER) Bifurcation
- Saddle-node on invariant cycle (SNIC) Bifurcation



Idee: Sattel und Knoten kollidieren und einen Grenzzyklus erzeugen

Unstabile Mengeigfrequenz des Sattels \equiv stabile Mengeigfrequenz des Knotens

Kennzeichen: Amplitude bei $\omega \neq 0$

Frequenz bei $\omega \rightarrow 0$ (Periode $\rightarrow \infty$)

Einfacher geodägches Modell einer SNIPER-Bifurkation

Ditrieger, Neug, Haas, Phys. Rev. E 50, 3508 (1994)

Haas, Ditrieger, Haken, Phys. Rev. Lett. 71, 87 (1993)

Bemerkungssatz: Typ I (Typ II: Hopf-Bifurkation)

Normalform / die gleiche Gleichungen:

$$\dot{x} = x(1-x^2-y^2) + y(x-b)$$

$$\dot{y} = y(1-x^2-y^2) - x(x-b)$$

in Polarkoordinaten: $x = r \cos \varphi$, $y = r \sin \varphi$



$$\text{I: } \dot{x} = r \dot{\varphi} \cos \varphi - r \varphi \sin \varphi = r \cos \varphi \left(1 - r^2 (\cos^2 \varphi + \sin^2 \varphi) \right) + r \sin \varphi (r \cos \varphi - b)$$

$$\text{II: } \dot{y} = r \dot{\varphi} \sin \varphi + r \varphi \cos \varphi = r \sin \varphi \left(1 - r^2 (\cos^2 \varphi + \sin^2 \varphi) \right) - r \cos \varphi (r \cos \varphi - b)$$

$$\text{I}' = \text{I} \cdot \cos \varphi: r \cos^2 \varphi - r \varphi \sin \varphi \cos \varphi = r \cos^2 \varphi (1 - r^2) + r \sin \varphi \cos \varphi (r \cos \varphi - b)$$

$$\text{II}' = \text{II} \cdot \sin \varphi: r \sin^2 \varphi + r \varphi \sin \varphi \cos \varphi = r \sin^2 \varphi (1 - r^2) - r \cos \varphi \sin \varphi (r \cos \varphi - b)$$

$$\text{I}' + \text{II}' = r \underbrace{(\cos^2 \varphi + \sin^2 \varphi)}_{=1} = r (\cos^2 \varphi + \sin^2 \varphi) (1 - r^2)$$

$$\Leftrightarrow \boxed{r = r(1 - r^2)}$$

$$\text{I}'' = \text{I} \cdot \sin \varphi: r \cos \varphi \sin \varphi - r \varphi \sin^2 \varphi = r \cos \varphi \sin \varphi (1 - r^2) + r \sin^2 \varphi (r \cos \varphi - b)$$

$$\text{II}'' = \text{II} \cdot \cos \varphi: r \sin \varphi \cos \varphi + r \varphi \cos^2 \varphi = r \sin \varphi \cos \varphi (1 - r^2) - r \cos^2 \varphi (r \cos \varphi - b)$$

$$\text{II}'' - \text{I}'' = r \varphi \underbrace{(\cos^2 \varphi + \sin^2 \varphi)}_{=1} = -r \varphi (\cos^2 \varphi + \sin^2 \varphi) (r \cos \varphi - b)$$

$$\Leftrightarrow \boxed{\varphi = b - r \cos \varphi}$$

lineare Stabilitätsanalyse:

$$\begin{pmatrix} \dot{r} \\ \dot{\varphi} \end{pmatrix} = \begin{pmatrix} 1 - 3r^2 & 0 \\ -\cos \varphi & +r \sin \varphi \end{pmatrix}$$

$$\text{Fixpunkt f. } r=0: A = \begin{pmatrix} 1 & 0 \\ -\cos \varphi & 0 \end{pmatrix} \Rightarrow \begin{array}{l} \text{tr} A = 1 \\ \det A = 0 \end{array}$$

Achtung: Phasen φ bei $r=0$ unbestimmt:

$$\Rightarrow \text{effektiv 1D: } \dot{r} = r(1 - r^2) \Rightarrow \dot{r} = (1 - 3r^2)/r$$

$$\text{mit } r=0: |1 - 3r^2|_{r=0} = 1 \Rightarrow \text{Instabilität}$$

$r^k=1: \dot{r}=0$

$$\dot{\varphi} = b - \cos \varphi \stackrel{!}{=} 0 \Rightarrow \varphi = \arccos b \quad (|b| < 1)$$

$$\begin{aligned} \cos \varphi &= b \Rightarrow \cos^2 \varphi = 1 - \sin^2 \varphi = b^2 \\ &\Rightarrow \sin \varphi = \pm \sqrt{1 - b^2} \end{aligned}$$

FP in (x, y) -Koordinaten:

$$x^k = r^k \cos \varphi^k = b$$

$$y^k = r^k \sin \varphi^k = \pm \sqrt{1 - b^2}$$

existiert für $|b| < 1$

bei $b=1$: Endfokus eines Gradientenfelds
 $y^k=0$

Periode: aus $\dot{\varphi}$ mit Tracing der Variablen:

$$T = \int_0^T dt = \int_0^{2\pi} \frac{1}{b - \cos \varphi} d\varphi = \sqrt{\frac{2\pi}{b^2 - 1}} \quad \text{für } b > 1$$

$$\lim_{b \rightarrow 1} T = \infty$$

$$|b| \rightarrow 1$$

Stabilität von

$$(i) (x^k, y^k) = (b, \pm \sqrt{1 - b^2}) : A = \begin{pmatrix} -2 & 0 \\ -b & \sqrt{1 - b^2} \end{pmatrix}$$

$$\text{tr } A = -2 + \sqrt{1 - b^2} < 0 \Rightarrow \text{Sattel}: \lambda = \left\{ \begin{array}{l} -2 \\ \sqrt{1 - b^2} \end{array} \right.$$

$$(\det A = -2\sqrt{1 - b^2} < 0)$$

$$(ii) (x^k, y^k) = (b, -\sqrt{1 - b^2}) : A = \begin{pmatrix} -2 & 0 \\ -b & -\sqrt{1 - b^2} \end{pmatrix}$$

$$\text{tr } A = -2 - \sqrt{1 - b^2} < 0$$

$$\det A = +2\sqrt{1 - b^2}$$

$$(\text{tr } A)^2 - 4 \det A = 4 + 4\sqrt{1 - b^2} + (1 - b^2) - 8\sqrt{1 - b^2} = 4 - 4\sqrt{1 - b^2} + (1 - b^2) > 0$$

\Rightarrow Stabilitätsknoten

$$\lambda = \left\{ \begin{array}{l} -2 \\ -\sqrt{1 - b^2} \end{array} \right.$$

